

دراسة الجهد الطويل المدى لـ $\text{H}_2, \text{N}_2, \text{O}_2, \text{NO}, \text{N}_2\text{O}, \text{H}_2\text{O}, \text{NH}_3, \text{CH}_4$ في الحالة الأرضية

سناء كاظم خلف

قسم الفيزياء - كلية التربية - جامعة البصرة

الملخص

تم في هذا البحث حساب معاملات فاندرفالز لمجموعة من الجزيئات في حالة الطاقة الأرضية ، وهي معامل قوة التشتت لثلاثة جزيئات متفاعلة V_{abc} (لكل منها ثالثي قطب) ، ومعامل الاعاقة $f_6(R)$ لجزيئتين متفاعلاتين ولمسافات فاصلة مختلفة، ثم دراسة جهد التفاعل $V(R)$ لجزيئتين متفاعلاتين و المعتمد على تأثير معامل الاعاقة لمجموعة الجزيئات المدروسة . ونتائجنا لم تقارن مع نتائج باحثين آخرين لعدم توفر النتائج لدينا.

الكلمات المفتاحية

معاملات قوة التشتت ، معاملات فاندر فالز ، الاعاقة ، الجهد الطويل المدى

المقدمة

المواد الصلبة الجزيئية حيث تهيء الميكانيكية الرئيسية للتجاذب بين الجزيئات وتحدث نتيجة تاثير دوران الألكترون في الجزيئية او النرة بدوران الألكترونات في الجزيئات او الذرات المجاورة مما يسبب نوعا من الأستقطاب الآني بين هذه الذرات او الجزيئات و كنتيجة لهذا الأستقطاب الآني تتولد قوى تجاذب فاندرفالز.

هناك جزءان لطاقة فاندرفالز ، الجزء الأكثر أهميه عند المسافات القصيرة هو التناقض بين الألكترونات في الأوربيتالات الممتلئة للذرتين. أما الجزء الآخر لطاقة فاندرفالز هو التجاذب الذي ينتج عندما تقوم الألكترونات في

تكون المواد الصلبة من ذرات او أيونات او جزيئات متراصنة بعضها مع بعض وهذا التراص يعطي للمواد الصلبة الصفات الخاصة بها . ان القوة التي تربط بين ذرتين (او اكثرب) في جزيئه ما تسمى اصرة . والاصره الكيميائية هي قوة فيزيائية ذات طبيعة كهربائية تجاذبية بين الذرات ومن هذه الاواصر اصرة فاندرفالز (Vander Waals bonds) . ان طاقة الترابط الناتجة من هذه الاصره ضعيفه مقارنة بالاواصر الاخري كما ان هذه الاصره توجد في جميع التجمعات الذرية والجزيئية الا ان أهميتها تزداد في

كبيرة تأخذ بنظر الاعتبار التجاذب بين متعددات اقطاب آنية لذرة او جزيئية واحدة ومتعددات اقطاب محتملة للذرة او الجزيئية الاخرى ، متعددات الاقطاب المحتملة هذه تنشأ من المجال الكهربائي لمتعددات الاقطاب الآنية ، وقوة التجاذب التي تنتجهما تدعى بطاقة التشتت . لحساب طاقة التشتت هذه بين جسمين متقاعلين او اكثر تواجهنا صعوبة في تجميع الحدود الناتجة من التفاعلات بين عزوم متعددات الاقطاب لكل من الجسيمات المتفاعلة . الا ان هذه الصعوبة يمكن التغلب عليها وذلك بمعرفة معاملات الاستقطاب للجسام المتفاعلة وعندها يمكن حساب طاقة التفاعل بين جسمين او اكثرا حسب صيغة تكامل كازمير بولدر (Cosimir-polder)

ان الجهد الطويل المدى بين جسمين متقاعلين a, b يعطى بالعلاقة (Chaoyan and Babb 1998) (Marinescu et al 1994)

$$V(R) = -\frac{C_6}{R^6} - \frac{C_8}{R^8} - \frac{C_{10}}{R^{10}} \quad \dots\dots(1)$$

وعندما يتضمن معاملات الاعاقة فإنه يكتب بالعلاقة التالية (Chaoyan and Babb 1998)

$$V(R) = -\frac{C_6 f_6(R)}{R^6} - \frac{C_8 f_8(R)}{R^8} - \frac{C_{10} f_{10}(R)}{R^{10}} \quad \dots\dots\dots\dots(2)$$

حيث C_6, C_8, C_{10} هي معاملات قوة التشتت بين جسمين متقاعلين ويحسب من حاصل ضرب استقطابيات متعددة الاقطاب المعتمدة على التردد على صيغة كازمير بولدر التكمالية (Easa and Yousif 1982) وكما يلي

$$\in (\ell a, \ell b) = \frac{(2\ell a + 2\ell b)!}{4(2\ell a)!(2\ell b)!} \frac{2}{\pi} \int_0^\infty \alpha_{\ell a}(i\omega) \alpha_{\ell b}(i\omega) d\omega \quad \dots\dots\dots\dots(3)$$

حيث

$$C_6 = \in (1,1) \quad \dots\dots\dots\dots(4)$$

$$C_8 = \in (1,2) + \in (2,1) \quad \dots\dots\dots\dots(5)$$

الاوربيتالات المشغولة في الذرات المختلفة بتنظيم حركاتها لكي تتجنب بعضها بعضا جهد الأماكن بحيث ينبع عنها تلقائياً تجاذب من النوع ثنائي قطب-ثنائي قطب المحاث كما يعرف هذا النوع من الطاقة الكامنة بطاقة لوندن (London energy)

أن مساهمة قوة فاندر فالز الطويلة المدى (قوة التشتت) للتفاعل بين نظامين بأكثر من الكترون يعتبر ذو أهمية كبيرة ، حيث تلعب دوراً مهماً في وصف العديد من الظواهر الكيميائية والفيزيائية مثل الانصاق ، الشد السطحي والامتصاص الفيزيائي (Banerjee and Autschbach 2008)

في هذا البحث تم حساب الجزء الثاني لطاقة فاندر فالز (جزء التجاذب) وذلك من خلال حساب معاملات فاندر فالز الطويلة المدى والتي تحتاج لحسابها إلى حساب استقطابيات متعددة القطب الديناميكية (المعتمدة على التردد) بدلاً من شدة المهتز وتعدد الانتقال والتي أخذت من المصدر (Margoliash and Meath 1978) والمشتقة (pseudospectral dipole oscillator strength distributions (DOSDs) النظرية

ان طاقة التشتت بين ذرتين او جزيئتين والتي تمثل طاقة التأثير المتبادل للذرتين او الجزيئتين عند مسافات

$$C_{10} = \in(1,3) + \in(3,1) + \in(2,2) \dots \quad (6)$$

وأن (ω_i) المهتز (oscillator strengths) ($Z_{i\ell}$) وتردد الانتقال (transition frequency) Luyckx, et al 1978, (Kharchenko, et al 1996) وكما يلي

وان ($\alpha_{\ell b}(i\omega)$ ، $\alpha_{\ell a}(i\omega)$) هما استقطابيات متعددة الاقطاب الديناميكية للجسمين المتفاعلين a و b على التوالي عند الترددات الخيالية . والتي يعبر عنها بدلالة شدات

$$\alpha_{2\ell}(\omega) = \sum_{i=1}^n \frac{Z_{i\ell}}{(\omega_{i\ell}^2 - \omega^2)} \dots \quad (7)$$

اما ($f_{10}(R)$ ، $f_6(R)$ ، $f_8(R)$) هي معاملات الجهد الطويلة المدى (معاملات الاعاقة retardation coefficients) والتي ترتبط مع الدالة المولدة والتي تصح لجميع قيم R الصغيرة والكبيرة والتي تعطى بالعلاقة (Marinescu et al 1994)

$$F_{2(n+2)}(R, \ell a, \ell b) = \int_0^\infty d\omega \alpha_{\ell a}(i\omega) \alpha_{\ell b}(i\omega) \exp(-2\omega \alpha_{fs} R) p_n(\omega \alpha_{fs} R) \dots \quad (8)$$

حيث α ثابت التركيب الدقيق ، ($p_n(\omega \alpha_{fs} R)$) يمثل متعددة حدود وان (Marinescu et al 1994)

$$f_6(R) = \frac{1}{\pi C_6} F_6(R, 1, 1) \dots \quad (9)$$

$$f_8(R) = \frac{1}{3\pi C_8} F_8(R, 1, 2) \dots \quad (10)$$

$$f_{10}(R) = \frac{1}{18\pi C_{10}} \left[\frac{4}{5} F_{10}(R, 1, 3) + F_{10}(R, 2, 2) \right] \dots \quad (11)$$

ان صيغة تكامل كازمير بولدر لثلاثة اجسام متفاعلة (Chaoyan, et al 1996) يعطي بالعلاقة التالية

$$V_{abc} = \frac{3}{\pi} \int_0^\infty \alpha_{\ell a}(i\omega) \alpha_{\ell b}(i\omega) \alpha_{\ell c}(i\omega) d\omega \dots \quad (12)$$

نلاحظ من المعادلات اعلاه ان حساباتنا تختزل الى معرفة استقطابيات متعددة الاقطاب عند الترددات الخيالية للانظمة المتفاعلة .
الحسابات
قيم لشدة المهتز وعشرة قيم لتردد الانتقال اخذت من المصدر . (Margoliash and Meath 1978)

وبالتعويض عن $\omega = i\omega$ في المعادلة (7) واستخدم بعض القواعد الرياضية فان صيغة كازمير بولدر التكاملية لثلاثة جزيئات متفاعلة a ، b ، c المعادلة (12) فانها تختزل الى

لحساب معامل فرة التشتت لثلاثة جزيئات متفاعلة متماثلة او مختلفة ، تم التعويض عن معاملات الاستقطاب متعددة الاقطاب الديناميكية ($\alpha_\ell(\omega)$) بدلالة شدة المهتز المؤثرة Z_i وتردد الانتقال المؤثر ω_i (استخدمت عشرة

$$V_{abc} = \frac{3}{2} \sum_i \sum_j \sum_k \frac{Z_{i\ell} Z_{j\ell} Z_{k\ell} (\omega_{i\ell} + \omega_{j\ell} + \omega_{k\ell})}{\omega_{i\ell} \omega_{j\ell} \omega_{k\ell} (\omega_{i\ell} + \omega_{j\ell})(\omega_{i\ell} + \omega_{k\ell})(\omega_{k\ell} + \omega_{i\ell})} \quad \dots \dots \dots (13)$$

ولمزيد من التفاصيل راجع المصدر (Khalff 1997)
والحساب الجهود الطويلة المدى (معاملات الاعاقة) فقد استخدمت المعادلة (8) وبعد التعويض عن $\alpha_\ell(\omega)$ بدلالة شدة المهازن وتردد الانتقال المعادلة (7) نحصل على

$$F_{2(n+2)}(R, \ell_a, \ell_b) = (\alpha_{fs} R)^3 \sum_{i,j} Z_i Z_j \int_0^\infty dx \frac{e^{-2x} p_n(x)}{(x_i^2 + x^2)(x_j^2 + x^2)} \quad \dots \dots \dots (14)$$

حيث $X = \omega \alpha_{fs} R$ وبالتعبير عن متعددة الحدود بالصيغة

$$P_n(x) = \sum_{m=0}^{2(n+1)} \beta_{nm} X^m \quad \dots \dots \dots (15)$$

فإن المعادلة (14) تكتب بالشكل

$$F_{2(n+2)}(R, \ell_a, \ell_b) = (\alpha_{fs} R)^3 \sum_{m=0}^{2(n+1)} \beta_{nm} \sum_{i,j} Z_i Z_j \int_0^\infty \frac{X^m e^{-2x} dx}{(x_i^2 + x^2)(x_j^2 + x^2)} \quad \dots \dots \dots (16)$$

ان التكامل اعلاه يمكن فصله الى تكاملين

$$\int_0^\infty \frac{X^m e^{-2x} dx}{(x_i^2 + x^2)(x_j^2 + x^2)} = (x_j^2 - x_i^2)^{-1} [I_m(x_i) - I_m(x_j)] \quad \dots \dots \dots (17)$$

حيث

$$I_m(X_i) = \int_0^\infty dx \frac{X^m e^{-2x}}{x_i^2 + x^2}$$

أي ان المعادلة (16) يمكن اعاده كتابتها لنحصل على

$$F_{2(n+2)}(R, \ell_a, \ell_b) = (X_j^2 - X_i^2)^{-1} (\alpha_{fs} R)^3 \sum_{i,j} Z_i Z_j \left[\sum_{m=0}^{2(n+1)} \beta_{nm} I_m(X_i) - \sum_{m=0}^{2(n+1)} \beta_{nm} I_m(X_j) \right] \dots \dots \dots (18)$$

تم حل التكامل $I_m(x_i)$ بالاستعانة بتحويلات لا بلاس ومن ثم تطبيق صيغة كاوس لاكيوري (Gauss Laquerre) التكاملية والتي تعطى بالعلاقة التالية

$$\int_0^{\infty} f(y) e^{-y} dy = \sum_i w_i f(y_i)$$

حيث y_i تمثل العقد (nodes) و w_i تمثل الوزن (weight) واستخدمنا 15 نقطة اخذت من المصدر [Abromowitz and Stegun (1970)] . اي ان التكامل يكتب بالشكل

$$I_m(x_i) = \frac{-m}{x_i} \int_0^{\infty} x^{m-1} e^{-sx} \tan^{-1}\left(\frac{x}{x_i}\right) dx + \frac{s}{x_i} \int_0^{\infty} x^m e^{-sx} \tan^{-1}\left(\frac{x}{x_i}\right) dx \quad \dots\dots\dots (19)$$

هذه المعادلة تصح عندما $x_i \neq x_j$ اما في حالة $x_i = x_j$ فاننا نحتاج ان نأخذ الغاية عليها عندما $x_j \rightarrow x_i$ لذا نحتاج الى قيمة

$$\begin{aligned} \frac{dI_m(x_i)/dx_i}{2x_i} &= \frac{-m}{2x_i^3} \int_0^{\infty} x^{m-1} e^{-sx} \left[\tan^{-1}\left(\frac{x}{x_i}\right) + \frac{1}{2} \sin\left(2\tan^{-1}\left(\frac{x}{x_i}\right)\right) \right] dx \\ &+ \frac{s}{2x_i^3} \int_0^{\infty} x^m e^{-sx} \left[\tan^{-1}\left(\frac{x}{x_i}\right) + \frac{1}{2} \sin\left(2\tan^{-1}\left(\frac{x}{x_i}\right)\right) \right] dx \end{aligned} \quad \dots\dots\dots (20)$$

حيث $S = 2$. الان نستطيع الحصول على معاملات الاعاقة من المعادلات (9, 10, 11) ، ثم التعويض في المعادلة (2) للحصول على جهد التفاعل الكلي لزوج من الجزيئات المتفاعلة .

استقطابية ثنائية القطب لجزيئه المدروسة والتي عرض عنها بدلاله شدة المهازن وتردد الانتقال لاحظ المعادلة (13). تم حساب معامل الاعاقة $f_6(R)$ لمجموعة الجزيئات المدروسة مرة في حالة تمثل زوج الجزيئات المتفاعلة ومرة ثانية في حالة اختلاف الزوج المتفاعل من الجزيئات والشكل رقم (1) يمثل العلاقة بين معاملات الاعاقة لمجموعة من الجزيئات المتفاعلة مع المسافة الفاصله بين الجزيئات ، حيث نلاحظ من الشكل ان معامل الاعاقة يبدأ بأعلى قيمة وهي الواحد الصحيح عند المسافات الفاصله الصغيرة ويتناقص تدريجيا مع زيادة المسافة الفاصله . وهذا التصرف مشابه تماما لتصريف الذرات والاليونات (Khalff 1997) وجزيئات الهايليدات القلوية (Khalff 2001).

تم حساب جهد التفاعل $V(R)$ لمجموعة الجزيئات المدروسة ، والشكل رقم (2) يمثل العلاقة بين جهد التفاعل والمسافة

النتائج
في هذا البحث تم حساب معاملات فاندر فالز الخاصة بتفاعل ثنائية قطب - ثنائية قطب فقط وذلك لتوفير قيم شدة المهازن وتردد الانتقال للجزيئات المدروسة فقط في حالة ثنائية القطب والمأخوذة من المصدر Margoliash V_{abc} and Meath 1978 . تم حساب معامل قوة التشتت لثلاثة جزيئات متفاولة متماثلة جميعا او م مختلفة والقيم موضحة في الجدول رقم (1) ولم نستطيع مقارنتها مع نتائج باحثين اخرين لعدم توفرها لدينا . نلاحظ من الجدول ان اعلى قيمة لمعامل قوة التشتت لثلاثة جزيئات متماثلة هي لـ $(CH_4-CH_4-CH_4)$ واقل قيمة لـ $(H_2-H_2-H_2)$ ، اما لجزيئتين متماثلتين والثالثة مختلفة فنلاحظ ان اعلى قيمة هي لـ $(H_2-H_2-H_2O)$ ، بينما لجزيئيات الثلاثة المختلفة عن بعضها البعض فان اعلى قيمة لـ $(CH_4-H_2O-N_2O)$ واقل قيمة لـ $(H_2-N_2-O_2)$. ان هذه القيم تعتمد اساسا على قيمة

- the interaction of two alkali-metal atoms", physical Review A . vol: 50, No.4
5. M.Abromowitz and Irene A.stegun, (1970), "Hand Book of Mathematical function with formulas graphs, and mathematical tables". Dover publications iinc, Newyork . p.923.
 6. P.Kharchenko,J.F.Babb, and A. Dalgarno (1996), "Long – range interactions of sodium atoms " , physical Review A . vol: 55, No.5.
 7. R . Luyckx , ph . Coulon and H . N . W . Lekker kerker (1978), " Dispersion forces between nobel gas odoms", J.chem.phys . vol: 69, No.2424.
 8. S.I.Easa and F.N. Yousif, (1982), "Long-Range interaction coefficients between H, He⁺, He and Li⁺". Int. J.Quant.Chem . vol : XX1 . No. 1117.
 9. S.K.Khalff, (1997), "Long – range Dispersion potential between Atoms and Ions ".M.sc.Thesis, university of Basrah .
 10. S.K.Khalff, (2001), "Calculating Vander waals potential for Alkali Halides Molecules " , Journal of Basrah Researches ' vol:2,No.27.
 11. Z. Chao yan, J.F.Babb, and A. Dalgarno, (1996), "Variational calculations of dispersion coefficients for interaction among H, He, and Li atoms ". physical Review A . vol: 54, No.4.

الفاصلة حيث نلاحظ من الشكل ان جهد التفاعل يساوي قيمة C_6 عند المسافات الفاصلة الصغيرة أي ان تأثير معامل الاعاقة مهم عند المسافات الفاصلة الصغيرة ولكن يبدأ تأثير معامل الاعاقة بشكل واضح عند المسافات الفاصلة الكبيرة . وهذا التصرف يتطابق تماما مع نتائج المصادر (Khalff(1997), khalff2001)

نستنتج من هذا البحث ان الشكل العام لتصرف معامل الاعاقة مع المسافة الفاصلة وكذلك الشكل العام لتصرف الجهد الكلي مع المسافة الفاصلة يكون متماثل لجميع الانظمة المدروسة (الذرات والآيونات ، جزيئات الهايليدات القلوية ، الجزيئات المدروسة حاليا).

المصادر

1. A.Banerjee and J.Autschbach, (2008), "Time dependent density functional theory calculation of Vander waals coefficient c_6 of alkali – metal atoms Li, Na, k, alkali dimmers Li₂, Na₂, k₂ and sodium clusters Na_n" . ar Xiv : 0801. 1388v1 [physics. Atm – clus].
2. D.J.Margoliash and W.J.Meath, (1978), "Pseu dospectral dipole oscillator strength distributions and some related two body interaction coefficients for H, He, Li, N, O, H₂,N₂, O₂,NO,N₂O,H₂O, NH₃, and CH₄". J.Chem.Phys,vol:68, No.4.
3. M.Marinescu, H.R.sadeghpour, and A.Dalgarno, (1994), "Dispersion coefficients for alkali-metal dimers", physical Review A vol: 49, No.2
4. M.Marinescu, J.F.Babb, and A. Dalgarno (1994), "Long-rang potentials ,including retardation, for

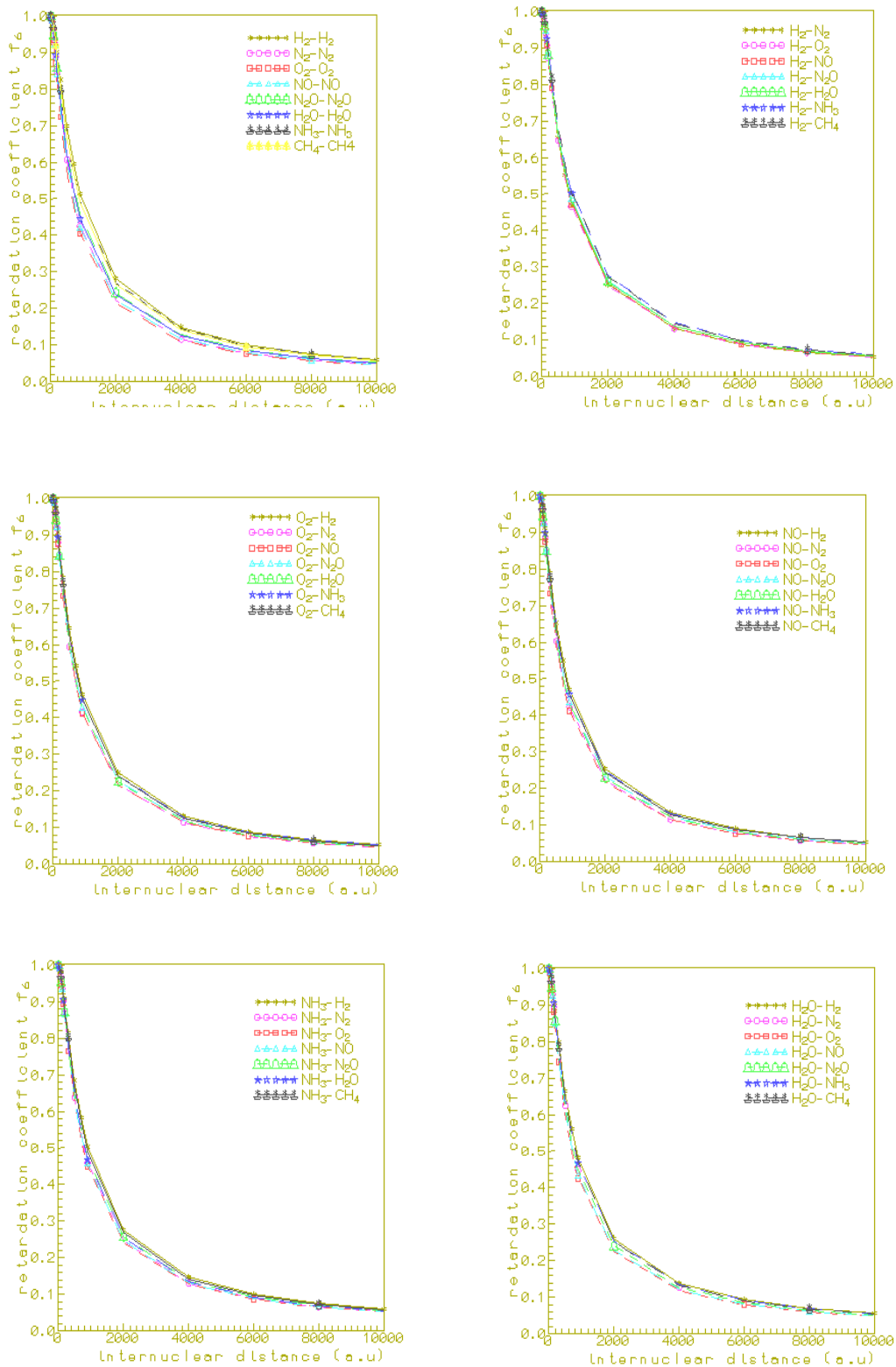
helium atoms". Physical Review A ,
 vol : 58, No.2.
 13.

12. Z.chao yan and J.F.Babb, (1998), "
 Long-range interactions of metastable

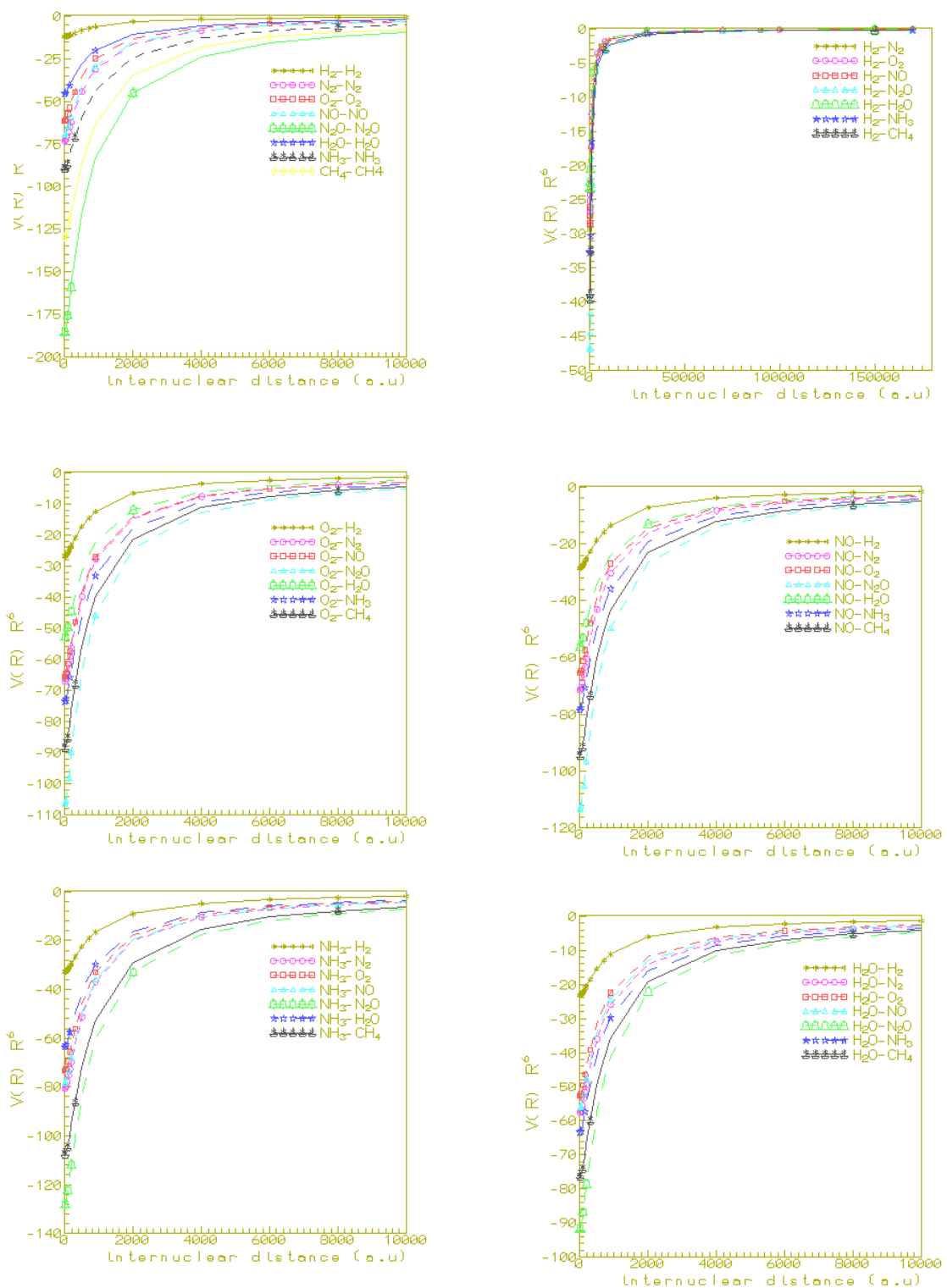
جدول رقم (1) . قيم V_{abc} لثلاثة جزيئات متفاعلة بالوحدات الذرية

النظام	V_{abc}	النظام	V_{abc}
$H_2 - H_2 - H_2$	48.473	$N_2O - N_2O - H_2$	680.677
$N_2 - N_2 - N_2$	618.260	$N_2O - N_2O - N_2$	1595.790
$O_2 - O_2 - O_2$	453.838	$N_2O - N_2O - O_2$	1437.354
$NO - NO - NO$	565.369	$N_2O - N_2O - NO$	1548.934
$H_2O - H_2O - H_2O$	308.213	$N_2O - N_2O - H_2O$	1266.761
$NH_3 - NH_3 - NH_3$	920.559	$N_2O - N_2O - NH_3$	1821.270
$CH_4 - CH_4 - CH_4$	1629.642	$N_2O - N_2O - CH_4$	2202.965
$H_2 - H_2 - N_2$	112.226	$H_2O - H_2O - H_2$	165.405
$H_2 - H_2 - O_2$	100.793	$H_2O - H_2O - N_2$	388.441
$H_2 - H_2 - NO$	108.864	$H_2O - H_2O - O_2$	349.968
$H_2 - H_2 - N_2O$	181.285	$H_2O - H_2O - NO$	377.036
$H_2 - H_2 - H_2O$	89.319	$H_2O - H_2O - N_2O$	624.821
$H_2 - H_2 - NH_3$	129.213	$H_2O - H_2O - NH_3$	442.745
$H_2 - H_2 - CH_4$	156.351	$H_2O - H_2O - CH_4$	535.566
$N_2 - N_2 - H_2$	262.048	$NH_3 - NH_3 - H_2$	344.726
$N_2 - N_2 - O_2$	557.313	$NH_3 - NH_3 - N_2$	801.698
$N_2 - N_2 - NO$	600.015	$NH_3 - NH_3 - O_2$	721.027
$N_2 - N_2 - N_2O$	992.676	$NH_3 - NH_3 - NO$	778.055
$N_2 - N_2 - H_2O$	489.890	$NH_3 - NH_3 - N_2O$	1293.7611
$N_2 - N_2 - NH_3$	701.985	$NH_3 - NH_3 - H_2O$	637.649
$N_2 - N_2 - CH_4$	849.492	$NH_3 - NH_3 - CH_4$	1113.329
$O_2 - O_2 - H_2$	212.137	$CH_4 - CH_4 - H_2$	504.612
$O_2 - O_2 - N_2$	502.728	$CH_4 - CH_4 - N_2$	1173.718
$O_2 - O_2 - NO$	488.155	$CH_4 - CH_4 - O_2$	1055.123
$O_2 - O_2 - N_2O$	806.506	$CH_4 - CH_4 - NO$	1138.708
$O_2 - O_2 - H_2O$	398.128	$CH_4 - CH_4 - N_2O$	1893.169

$O_2 - O_2 - NH_3$	569.331	$CH_4 - CH_4 - H_2O$	933.141
$O_2 - O_2 - CH_4$	688.565	$CH_4 - CH_4 - NH_3$	1346.804
$NO - NO - H_2$	246.676	$H_2 - N_2 - O_2$	235.715
$NO - NO - N_2$	582.391	$H_2 - NO - N_2O$	409.548
$NO - NO - O_2$	525.255	$H_2 - H_2O - NH_3$	238.521
$NO - NO - N_2O$	935.219	$H_2 - CH_4 - N_2$	362.860
$NO - NO - H_2O$	461.536	$N_2 - NO - N_2O$	963.452
$NO - NO - NH_3$	661.213	$N_2 - H_2O - NH_3$	557.306
$NO - NO - CH_4$	799.848	$N_2 - CH_4 - O_2$	764.589
النظام	V_{abc}		
$O_2 - NO - N_2$	541.005		
$O_2 - N_2O - H_2$	379.566		
$O_2 - H_2O - NH_3$	501.635		
$O_2 - CH_4 - H_2$	325.982		
$NO - H_2O - N_2O$	764.169		
$NO - NH_3 - CH_4$	941.138		
$N_2O - H_2 - N_2$	422.096		
$N_2O - O_2 - NO$	868.342		
$N_2O - H_2O - NH_3$	897.940		
$N_2O - CH_4 - H_2$	585.626		
$NH_3 - H_2 - N_2$	299.785		
$NH_3 - O_2 - NO$	613.644		
$NH_3 - CH_4 - NO$	941.138		
$CH_4 - H_2O - H_2$	288.594		
$CH_4 - NH_3 - N_2$	969.907		
$CH_4 - NO - O_2$	742.020		
$CH_4 - H_2O - N_2O$	1086.159		



شكل رقم (1): معاملات الإعاقة لمجموعة الجزيئات المدرستة



شكل رقم (2): جهد التفاعل الكلي المعتمد على معامل الإعاقة لمجموعة الجزيئات المدروسة

Study the long – range potential for **H₂, N₂, O₂, NO, N₂O, H₂O, NH₃, CH₄** in ground state

San'a Kadhim Khalff

Department of physics- college of education-University of Basrah-Basra-Iraq

Abstract

in this paper, we calculate the Vander Waals coefficient for many Molecules in ground state ,this is dispersion energy coefficient for three molecules interaction V_{abc} (each one have dipole). And the retardation coefficient $f_6(R)$ for two molecule interaction for different distances, then studying potential interaction $V(R)$ for two molecule and depended on effects retardation for molecules study .

Our results cannot comparative with other estimations.

Keyword

Dispersion energy coefficient , Vander Waals coefficient, Retardation, Long-range potential.